

硝酸塩を酸素源とした生物処理法

—石油化学工業廃水について—

栗田工業 ○宮地有正

杉本和雄

1. はじめに

我が国においては、工場の製造技術の進展により、工場廃水の濃度が次第に高くなる傾向にあり、また工場規模の拡大、集合により廃水量の減少も期待できない現状である。

従来より広く用いられている活性汚泥処理法では、沈殿槽における活性汚泥の分離を自然沈降にしたるため、おのずと活性汚泥の性状維持が中心となり、このような高濃度、多水量の廃水に対しては広い敷地面積を必要とし、さらに廃水の濃度を適当に希釈する必要から多量の希釈水の確保が要求されている。

一方活性汚泥に必要な酸素の供給はブロワー、機械攪拌等によるが、その供給能力は経済的に制約があり、活性汚泥処理の今一つの発展をさまたげているように思われる。

著者等がこれまでに検討してきた「硝酸塩を酸素源とした生物処理」はエアレーションを必要とせず、酸素源としては空気のかわりに硝酸塩を用いるため、酸素の供給に限界がなく、また汚泥が粒状であるため濃度を従来法より高くでき、廃水の処理負荷を大きくできる等の利点がある。^{1) 2)}

本報では実際例として、硝酸塩を含む石油化学工業廃水につき、実験室的に本処理法の適用を検討した。

2. 実験方法

実験は連続運転と、大型ワールブルグ検圧計（セル容量600 ml）による廃水濃度の汚泥におよぼす影響について検討した。

1) 廃水の組成

実験に用いた廃水は、石油化学工場から流出するもので、廃水中には $\text{NO}_3 - \text{N}$ が 7,550 ppm、 BOD_5 が 1,6600 ppm 存在している。廃水の組成を表-1 に示す。

2) 廃水の調整

表-1 廃水の組成

| 連続処理を行なうため、廃水の pH 調整と、憲の補給をおこなつた。 | p H | 9.5 | 全窒素 | 7,646 ppm |
|--|-----------------------------------|------------|--------------------------|----------------------------------|
| | $\text{CO}_2\text{D}_{\text{cr}}$ | 29,000 ppm | $\text{NH}_4 - \text{N}$ | 41 " |
| | BOD_5 | 1,6600 " | $\text{NO}_2 - \text{N}$ | 0.2 " |
| | BOD_{20} | 2,6800 " | $\text{NO}_3 - \text{N}$ | 7,550 " |
| 調整は原水 1.0 ℥ / 2 N- H_2SO_4 40 ml / 0.7% $\text{NaH}_2\text{PO}_4 \cdot 2\text{H}_2\text{O}$ 10 ml (= 220 mg P) を加え、水 | 蒸発残渣 | 6,6050 " | 有機窒素 | 55 " |
| | 無機物 | 3,6290 " | P-アルカリ度 | 1,4300 ppm as CaCO_3 |
| | 有機物 | 2,9,760 " | M-アルカリ度 | 3,350 ppm as CaCO_3 |
| | 浮遊物 | 438 " | PO_4 | < 1 ppm |
| | 無機物 | 337 " | n-ヘキサン可溶物 | 1,656 " |
| | 有機物 | 101 " | | |

道水で全量を5.0 lまたは10.0 lにした。

3) 連続処理

実験に用いた装置を図-1に示す。

処理槽は断面積44 cm²、高さ120 cmのガラス管である。処理槽の上下端にはナイロン製ネットをたばねたものを置き、ゴム栓で固定した。実験に用いた汚泥は、前報において同様な処理実験をおこなつたスキムミルク廃水の汚泥を転用した。廃水は図-1に示すように、定量ポンプで処理槽の下部より流入し、汚泥と接触して上向する。硝酸イオン(NO₃⁻)の還元により発生するガスは、処理槽の頂部に設けた気泡分離器で処理水と分離される。

処理槽に充填した汚泥の容量は、1.2 l、濃度は約38,000 ppmで槽内の汚泥の高さは27 cmであった。

実験は、廃水を10倍および5倍に希釈したものについて、それぞれ流量または硝酸イオン濃度を変えておこなつた。実験条件を表-2に示す。

表-2 実験条件 [流入水]

| 実験 No. | 希釈倍率 | 流入量 ml/hr | BOD ₅ ppm | CODcr ppm | NO ₃ -N ppm | 負荷量 BOD ₅ kg/m ² d | 摘要 |
|-----------|------|--------------|-------------------------|--------------|---------------------------|---|----------------------------------|
| 1 | ×10 | 177 | 2010 | 3014 | 755 | 10.1 | - |
| 2 | ×10 | 177 | 2010 | 3014 | 1257 | 9.7 | KNO ₃ 500 ppm as N |
| 3 | ×10 | 374 | 2010 | 3014 | 1257 | 19.2 | " |
| 4 | ×10 | 580 | 2010 | 3014 | 1004 | 25.5 | KNO ₃ 250 ppm as N |
| 5 | ×5 | 181 | 3720 | 3650 | 2060 | 14.7 | KNO ₃ 500 ppm as N |

表-2中、BOD₅、CODcr、NO₃-Nなどの値は、実験期間を通して測定したそれぞれの値を用いた。また負荷量については、汚泥が占める見かけ容積当たりの処理したBOD量で表わした。

連続処理においては、廃水に含まれている硝酸イオンだけでは、酸素源として多少すくないため別にKNO₃ 250~500 ppm (as N) を添加し、過剰の硝酸イオンが処理水中に流出する条件で一部運転し、硝酸イオンの必要量を検討した。

4) ワールブルグ検圧計による濃度阻害の検討

生物処理を円滑におこなうために、廃水濃度の汚泥におよぼす影響を検討し、廃水の適正な希釈

率を求めた。実験には大型ワールブルグ検圧計を用い、セル内の空気は N_2 ガスと置換し、30°Cで振とうした。実験条件を表-3に示す。

表-3 廃水濃度の汚泥におよぼす影響

| 実験 No. | 試料 | | 緩衝液 | 汚泥 ²⁾ | 摘要 |
|-----------|-------------------|----|-----|------------------|--|
| | 希釈率 ¹⁾ | 容量 | | | |
| 1 | 原水 | 40 | 20 | 10 | ○副室 20% KOH 3.0 ml |
| 2 | ×1.7 | 40 | 20 | 10 | ○実験 No.5~7のセルには 0.2% KNO_3 5.0 ml を添加 |
| 3 | ×2.5 | 40 | 20 | 10 | ○No.9は気圧、温度に対する バランス |
| 4 | ×5.0 | 40 | 20 | 10 | |
| 5 | ×17.0 | 40 | 20 | 10 | |
| 6 | ×34.0 | 40 | 20 | 10 | |
| 7 | 純水 | 40 | 20 | 10 | |
| 8 | 原水 | 40 | 20 | - | |
| 9 | 純水 | 70 | - | - | |

1) pH (8.0) 調整後の原水 (スターラーで 12 hrs 搅拌)

ODcr 21,000 ppm BOD₅ 12420 ppm NO_3-N 7,860 ppm

2) ホモジナイズ 5分 / ml 中 24.5 mg SS

(セル内の MLSS 3,500 ppm)

実験に用いた原水の pH 中和には、濃度を低下させないために濃硫酸を使用したが、炭酸ガスの発生があり、実験に誤差を生ずるため約 12 時間中和した廃水をスターラーで搅拌したものを使用した。汚泥は連続処理と同一のものを 5 分間ホモジナイズしたものを用いた。また緩衝液には、M/5 $Na_2HPO_4 - Na_2H_2PO_4$ (pH 8.0) を用いた。

3. 実験結果

1) ワールブルグ検圧計による濃度阻害の検討

実験結果を図-2に示す。縦軸にガスの発生量、横軸に振とう時間をプロットした。希釈率 1.7 倍以上では、いずれも 100 時間以内にガスの発生が止まり、硝酸イオンがすべて利用されているが、原水の場合、振とう初期において、発生ガス量が汚泥の自己呼吸によるガス発生量より低下しており、汚泥の活性を阻害しているように思われる。しかし振とう 70 時間頃からガスの発生が増加し、240 時間に 71 ml のガス量となり、さらに増加は続いた。

図-2より、単位時間当りのガスの発生量と廃水の希釈倍率との関係を求め図-3に示す。図-3 から明らかかのように希釈倍率が少くとも 2.5 倍以下では汚泥の活性が低下する結果を得た。

2) 連続処理

実験結果を表-4に示す。実験 No.1 では処理水中に硝酸イオンが検出されず、酸素源としての硝酸イオンが不足している状態にあると考えられる。No.2 では、No.1 と同じ負荷量で運転されたが、廃水に KNO_3 を添加し、廃水中の硝酸イオンの不足を補つた場合で、この結果処理水中には過剰の

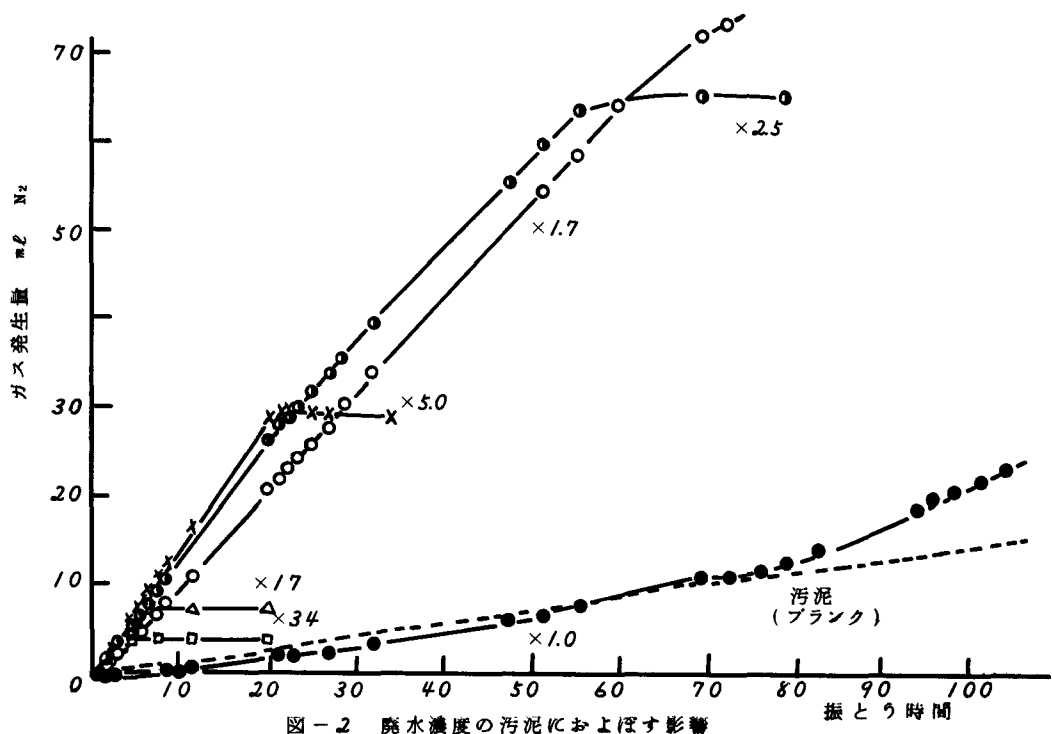


図-2 廃水濃度の汚泥におよぼす影響

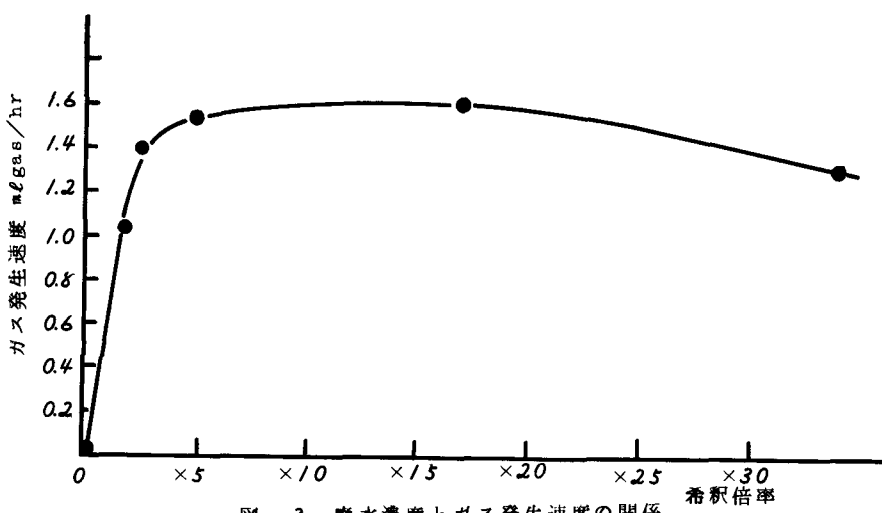


図-3 廃水濃度とガス発生速度の関係

硝酸イオンが流出し、処理水の BOD_5 は平均 5.5 ppm に低下した。 $\text{No.} 3$ では、負荷量を $\text{No.} 1$ や $\text{No.} 2$ の約 2 倍に増加して運転した場合で、この結果、処理水中の硝酸イオンは $\text{No.} 2$ におけるよりも増加したが処理水の BOD_5 は平均 7.0 ppm で大きな差はない。 $\text{No.} 4$ ではさらに負荷量を増して運転した場合で、この結果、処理水中の硝酸イオンおよび BOD_5 とも増加した。 $\text{No.} 5$ は廃水濃度を 2 倍（5 倍希釈）にして処理をおこなつた結果である。

表-4 実験結果 [流出水]

| 実験 No | BOD ₅ ppm | 除去率 % | BOD _{cr} ppm | 除去率 % | N _{ox} -N ppm | 消費された N _{ox} -N ppm | 槽内の汚泥 の高さ cm |
|----------|-------------------------|----------|--------------------------|----------|---------------------------|---------------------------------|-----------------|
| 1 | 345 (340~350) | 86.0 | 1,000 (995~1,105) | 67 | 0 | 755 | 29.0 |
| 2 | 55 (42~75) | 98 | 680 (630~685) | 78 | 182 (160~195) | 1,075 | 30.0 |
| 3 | 70 (50~110) | 97 | 654 (620~673) | 79 | 214 (175~340) | 1,043 | 32.0 |
| 4 | 430 (302~460) | 79 | 1,480 (1,470~1,505) | 52 | 380 (350~405) | 624 | 37.5 |
| 5 | 353 (280~370) | 91 | 1,740 (1,620~1,810) | 70 | 0 | 2,060 | 38.0 |

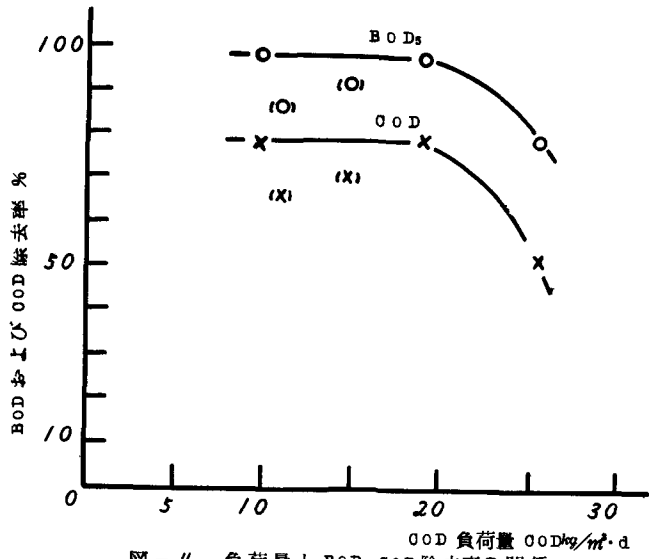
負荷量と COD および BOD₅ 除去

率の関係を図-4に示す。図-4中括弧内の値は硝酸イオンが不足した条件で運転されたNo.1および5の結果である。

酸素源として硝酸イオンが過剰にあるNo.2~4について、負荷量と COD および BOD₅ との間に図-4に示すような関係が得られ、 COD 負荷量 / 9 kg COD/m³·d 以下では、 BOD₅ 除去率 97% 、 COD の除去率 78% が得られた。 BOD₅ と COD の除去率に約 20% の差が見られるが、それぞれの除去された量を No.2 について見ると、 COD が 2334 (= 3,014 - 680) ppm 、 BOD₅ が 1,955 (= 2,010 - 55) ppm で約 380 ppm COD の除去量の方が多く、この現象は他の実験条件 (No.1~5) においても同様であった。

表-2 および 4 から除去された COD 量と消費された N_{ox}-N の関係、および COD 負荷量と除去された COD 単位当りの酸素量の関係をそれぞれ求め、図-5、6に示す。

図-5に示すように、除去された COD 量と消費される N_{ox}-N 量との間には直線の関係はなく、特に除去された COD 量が少くなると、 N_{ox}-N の消費量の変化は鈍くなる傾向にある。また図-6に示すように、除去された COD 単位当りに消費される酸素量は、負荷量が増すと減少する傾向にある。

図-4 負荷量と BOD₅, COD 除去率の関係

る。酸素の消費量を基質の酸化分解に用いられる酸素量と汚泥の自己呼吸に起因するものとに分けると、汚泥の自己呼吸による酸素量は負荷量に関係なく、ほぼ一定とみなせるから、負荷量が増加するに従い、除去された COD 当りの酸素の消費量は低下する。したがつて図-6 に得られた結果は一般的傾向と言える。なお消費された酸素量は次式より求めた。

$$\begin{aligned} \text{酸素量} &= \text{NO}_3-\text{N} \times 48/14 \\ &\times 5/6 (2\text{HNNO}_3 \rightarrow \text{N}_2 + \text{H}_2\text{O} \\ &+ 5/2 \text{O}_2) \end{aligned}$$

5. むすび

硝酸塩を含む石油化学工場廃水について、硝酸塩を酸素源とする生物処理法の適用を検討した結果、濃度阻害および希釈廃水の連続処理について次のような結論を得た。

- 1) この廃水は、汚泥の活性阻害の点から見て、5倍以上に希釈して処理することが望ましい。
- 2) BOD 除去率を 95% 以上にするためには、この廃水中に含まれる硝酸イオンだけでは不足であり、さらに約 300 ppm の NO₃-N を添加し、COD 負荷量を 19 kg COD/m³・d 以下にする必要がある。
- 3) この廃水に含まれる硝酸イオンだけでは処理する場合には、除去率 86% 前後が得られるが、適切な運転条件についてはなお検討の余地がある。

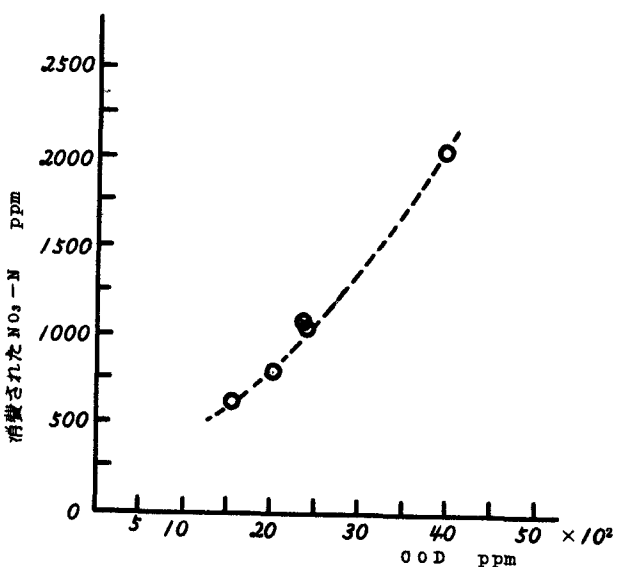


図-5 除去された COD と消費された NO₃-Nとの関係

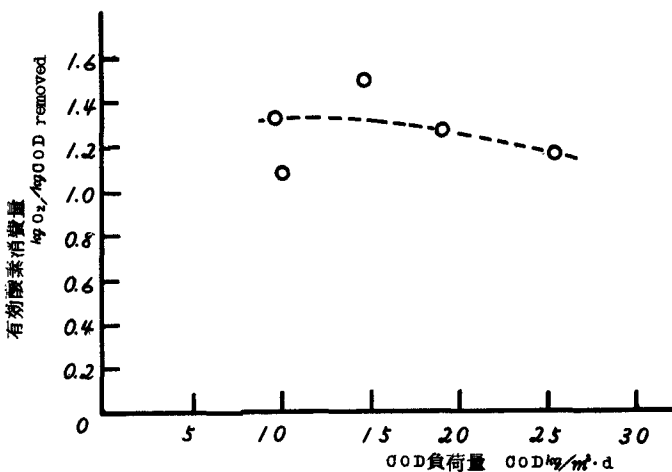


図-6 COD 負荷量と有効酸素消費量の関係

引用文献

- 1) 宮地、杉本 「硝酸塩を酸素源とした生物処理法（第1報）」
第5回 衛生工学研究討論会講演集（1969）
- 2) 宮地、杉本 「硝酸塩を酸素源とした生物処理法（第2報）」
第6回 下水道研究発表会講演集（1969）
- 3) R. E. McKinney and R. A. Conway "chemical oxygen in biological
waste treatment" Sewage and Industrial Wastes 29 /097 (1957)